

## The Effect of Aqueous Extract of *Quercus Infectoria* on Insulin Resistance and Free Fatty Acids in Insulin-Resistant Rats Induced by a High-Fructose Diet

Hossein Fallah<sup>1</sup>, Behnaz Danesh<sup>2</sup>, Beydolah Shahouzehi<sup>3</sup>, Ghilamabbas Mohammadi<sup>4</sup>

1. Assistant Professor, Department of Clinical Biochemistry, Afzalipour School of Medicine, Kerman University of Medical Sciences, Kerman, Iran. ORCID ID: 0000-0001-6196-0775

2. Internal Medicine Resident, Department of Internal Medicine, Afzalipour School of Medicine, Kerman University of Medical Sciences, Kerman, Iran. ORCID ID: 0000-0002-3131-0234

3. Assistant Professor, Physiology Research Center, Kerman University of Medical Sciences, Kerman, Iran. ORCID ID: 0000-0002-8758-6686

4. Professor, Department of Clinical Biochemistry, Afzalipour School of Medicine, Kerman University of Medical Sciences, Kerman, Iran., (Corresponding Author), Tel: 034-33257448, Email: moghabbas@yahoo.com, ORCID ID: 0000-0002-2621-0810

### ABSTRACT

**Background and Aim:** Insulin resistance is a pathological condition in which cells fail to respond normally to the insulin. The most important cause of insulin resistance is abdominal obesity. Increased abdominal fat increases the amount of free fatty acids and decreases adiponectin, which directly affects insulin signaling. Due to the role of *Quercus infectoria* in lowering blood sugar, we investigated the mechanism of action, and the effect of its aqueous extract on insulin resistance in insulin-resistant Rats.

**Materials and Methods:** The animals were fed fructose-rich or normal food for six weeks. At the end of six weeks, the animals were divided into 4 groups including: receiving plant extracts, pioglitazone, control, and normal food, and then treated for 2 weeks. At the end of the treatment period serum Glucose, triglyceride, and cholesterol levels were measured by autoanalyzer; Insulin, and adiponectin levels were measured by ELISA; plasma free fatty acids were measured by gas chromatography, and HOMA-IR (Homeostatic Model Assessment for Insulin Resistance) index was calculated by the formula. A one-way ANOVA test was used for statistical analysis.

**Results:** In the *Quercus infectoria* group, the concentrations of glucose ( $129.3 \pm 6.8$  mg/dl), triglyceride ( $79.8 \pm 5.1$  mg/dl), insulin ( $31.2 \pm 6.32$  pmol/L) and HOMA-IR ( $1.6 \pm 0.32$ ) significantly decreased compared to the control group with glucose ( $187.5 \pm 15.9$  mg/dl), Triglyceride ( $217.6 \pm 18.5$  mg/dl), Insulin ( $137.6 \pm 34.2$  pmol/L) and HOMA-IR ( $9.7 \pm 2.13$ ) decreased. The concentration of total free fatty acids and adiponectin did not change.

**Conclusion:** This study showed the beneficial effects of aqueous extracts of *Quercus infectoria* on reducing insulin resistance in insulin-resistant rats.

**Keywords:** Insulin resistance, Free fatty acids, Pioglitazone, *Quercus infectoria*

**Received:** Oct 30, 2020

**Accepted:** Nov 21, 2020

**How to cite the article:** Hossein Fallah, Behnaz Danesh, Beydolah Shahouzehi, Ghilamabbas Mohammadi. The Effect of Aqueous Extract of *Quercus Infectoria* on Insulin Resistance and Free Fatty Acids in Insulin-Resistant Rats Induced by a High-Fructose Diet. SJKU. 2021;26(1):72-85.

## بررسی اثر عصاره آبی مازو (*Quercus Infectoria*) بر مقاومت انسولینی و اسیدهای چرب آزاد در مدل مقاوم به انسولین موش‌های صحرایی، القاء شده با رژیم غذایی پُرفروکتوز

حسین فلاخ<sup>۱</sup>, بهنام دانش<sup>۲</sup>, بیدالله شاهوزه<sup>۳</sup>, غلامعباس محمدی<sup>۴</sup>

۱. استادیار, گروه بیوشیمی پایه‌یی, دانشکده پزشکی افضلی‌پور, دانشگاه علوم پزشکی کرمان, کرمان, ایران. کد ارکید: ۰۷۷۵-۰۶۹۶-۱.....

۲. دستیار داخلی, گروه داخلی, دانشکده پزشکی افضلی‌پور, دانشگاه علوم پزشکی کرمان, کرمان, ایران. کد ارکید: ۰۲۳۱-۰۲۴.....

۳. استادیار, مرکز تحقیقات فیزیولوژی, دانشگاه علوم پزشکی کرمان, کرمان, ایران. کد ارکید: ۰۸۷۸-۶۶۸۶-۲.....

۴. استاد, گروه بیوشیمی پایه‌یی, دانشکده پزشکی افضلی‌پور, دانشگاه علوم پزشکی کرمان, کرمان, ایران (نویسنده مسئول), تلفن: ۰۳۴۳۳۲۵۷۴۴۸, پست الکترونیک: moghabbas@yahoo.com, کد ارکید: ۰۸۱۰-۰۲۶۲۱-۰۰۰.....

### چکیده

**زمینه و هدف:** مقاومت انسولینی حالتی است که در آن غلظت‌های نرمال انسولین عملکرد مورد انتظار را ندارد. مهمترین عامل ایجاد مقاومت انسولینی چاقی شکمی است که باعث افزایش مقدار اسیدهای چرب آزاد و کاهش آدیپونکتین می‌شود و مستقیماً سیگنانلینگ انسولین را مختل می‌کند. با توجه به نقش مازو در کاهش قند خون، در این مطالعه اثر عصاره آبی آن بر فاکتورهای مقاومت انسولینی برای تعیین مکانیسم اثر آن بررسی شد.

**مواد و روش‌ها:** موش‌های صحرایی به مدت شش هفته با غذای پُرفروکتوز یا غذای نرمال تغذیه شدند. سپس حیوانات به گروه‌های دریافت کننده مازو، پیو گلیتازون، کنترل و غذای نرمال تقسیم و به مدت ۲ هفته تیمار شدند. در پایان دوره تیمار سطح گلوکز، تری گلیسرید و کلسترول سرمی با دستگاه اتو آنالایزر، انسولین و آدیپونکتین به روش الایزا، اسیدهای چرب آزاد پلاسمایی با گاز کروماتوگرافی اندازه‌گیری شد و شاخص HOMA (ارزیابی مدل هومواستاتیک برای مقاومت به انسولین) با فرمول محاسبه گردید. نتایج با آزمون ANOVA یک طفه آنالیز شد.

**یافته‌ها:** در گروه مازو غلظت گلوکز ( $۱۲۹/۳\pm 6/۸$  mg/dl), تری گلیسرید ( $۷۹/۸\pm ۵/۱$  mg/dl), انسولین ( $۳۱/۲\pm ۶/۳$  pmol/L) و HOMA-IR ( $۱/۶\pm ۰/۳$ ) به طور معنی‌داری نسبت به گروه کنترل با گلوکز ( $۱۸۷/۵\pm ۱۵/۹$  mg/dl) و تری گلیسرید خون ( $217/6\pm 18/5$  mg/dl) انسولین ( $137/6\pm 34/۲$  pmol/L) و HOMA-IR ( $9/7\pm 2/13$ ) کاهش یافت. غلظت توتال اسیدهای چرب آزاد و آدیپونکتین تغییری نشان نداد.

**نتیجه‌گیری:** نتایج این مطالعه بیانگر تاثیر عصاره آبی مازو بر کاهش مقاومت انسولینی در رت‌های مقاوم به انسولین می‌باشد.

**واژه‌های کلیدی:** مقاومت انسولینی، اسیدهای چرب آزاد، پیو گلیتازون، مازو

وصول مقاله: ۹۹/۸/۹ اصلاحیه نهایی: ۹۹/۸/۱۸ پذیرش: ۹۹/۹/۱

## مقدمه

آزاد منجر به افزایش حساسیت به انسولین می‌گردد. به نظر می‌رسد که یکی از مکانیسم‌های اثر تیازولیدین دیون‌ها در افزایش حساسیت به انسولین، کاهش غلظت اسیدهای چرب آزاد باشد.(۴-۶).

انواع مختلف اسیدهای چرب بر اساس درجه اشباع و طول زنجیره و از طریق اثر بر رسپتورهای مختلف اسیدهای چرب، اثرات متفاوتی را بر عملکرد انسولین و سایر فعالیت‌های متابولیکی اعمال می‌کنند. به عنوان مثال مشخص شده است که اسیدهای چرب زنجیره متوسط و زنجیره بلند از طریق گیرنده اسید چرب ۱ و ۴ (Free Fatty Acid Receptor, FFAR1,4 Receptor) در ایجاد مقاومت انسولینی مؤثر هستند، در حالی که اولنات و اسیدهای چرب زنجیره کوتاه مانع از اختلال در سیگنالینگ انسولین می‌شود.(۵).

مازو با نام علمی *Qercus infectoria* متعلق به خانواده Fagaceae و گیاهی درختچه‌ای است که در آسیای صغیر، یونان، سوریه و ایران می‌روید. مازو دارای اثرات دارویی با ارزشی است که می‌توان به خواص منقبض کنندگی، ضد عضلانی، ضد تب، ضد دیابتی، بیهوش‌کنندگی، ضد باکتریایی و ضدالتهابی و آنتی اکسیدانی آن اشاره کرد.(۷). مطالعات قبلی ما نشان داد که عصاره آبی مازو دارای اثر مهارکنندگی بر آنزیم آلفا گلوکوزیداز می‌باشد و قند خون را در موش‌های دیابتی و سالم نیز کاهش می‌دهد(۸،۹). در مطالعه حاضر، اثرات این عصاره بر روی ترشح انسولین و فاكتورهای دخیل در عملکرد انسولین مانند غلظت آدیپونکتین و سطح اسیدهای چرب آزاد بررسی شد.

## مواد و روش‌ها

این مطالعه یک مطالعه تجربی است که در آن از موش‌های نر نژاد ویستان استفاده شده است.

تهیه عصاره‌ی گیاهی:

گال‌های مازو برای تهیه عصاره آبی مورد استفاده قرار گرفت. گال‌های مازو از فروشگاه گیاهان دارویی معتبر در

مقاومت انسولینی با هیپرانسولینی و هیپرگلیسمی مشخص می‌گردد که در این وضعیت سیگنالینگ انسولین مختل می‌شود. این شرایط با بروز بیماری‌های مانند دیابت نوع ۲ و بیماری‌های قلبی عروقی و کلیوی ارتباط دارد(۱). مهمترین فاكتور در ایجاد مقاومت انسولینی چاقی است، که عموماً دارای دلایل پلی ژنتیکی و محیطی است. در سطح مولکولی نیز افزایش فسفریله شدن ریشه‌های سرین/ترثونین در Insulin Receptor (Substrate, IRS) به جای فسفریله شدن تیروزین‌های آنها دیده می‌شود که در نتیجه افزایش فاكتور نکروزی تومور آلفا (TNF- $\alpha$ ), Tumor Necrosis Factor  $\alpha$ , IL-6, Interleukin 6, IL-6 و اسیدهای چرب آزاد پلاسمایی صورت می‌گیرد(۲).

آدیپوسیت‌ها و ماکروفازهایی که به این بافت مهاجرت کرده‌اند، واسطه‌های بیولوژیکی فعالی ترشح می‌کنند که آدیپوسیت‌وکین نامیده می‌شوند و در ایجاد مقاومت به انسولین، دیابت نوع ۲ و آتروواسکلروز نقش دارند. فراوان‌ترین این آدیپوکین‌ها آدیپونکتین است که منحصراً بواسیله آدیپوسیت‌های بالغ ترشح می‌شود. آدیپونکتین یک آدیپوسیت‌وکین ضد التهابی است که برخلاف بسیاری از آدیپوکین‌ها در چاقی کاهش می‌یابد و مقدار آن ارتباط معکوسی با مقاومت انسولینی دارد(۳).

عموماً غلظت بالای اسیدهای چرب آزاد، در چاقی و مقاومت انسولینی دیده می‌شود که افزایش غلظت آنها در چاقی در پی عواملی مانند توسعه بافت چربی و افزایش توانایی آزادسازی اسیدهای چرب آزاد ایجاد می‌شود. این اسیدهای چرب آزاد که با نام اسیدهای چرب غیراستری نیز شناخته می‌شوند، به عنوان واسطه‌های اینمی و التهابی از طریق گیرنده‌های اسیدهای چرب در عمل می‌کنند، بطوریکه افزایش حاد اسیدهای چرب آزاد باعث ایجاد مقاومت انسولینی و همچنین حاد اسیدهای چرب

پس از دو هفته حیوانات در هر قفس، شماره گذاری و وزن شدند. از بین آنها ۸ حیوان به طور راندوم به عنوان گروه تغذیه نرمال (حیوانات با غذای استاندارد) انتخاب شدند که این گروه در طول دوره تیمار، با غذای استاندارد و سایر حیوانات با غذای غنی از فروکتوز تغذیه شدند. تغذیه با غذای غنی از فروکتوز به مدت ۶ هفته ادامه یافت. وزن حیوانات در پایان هر هفته اندازه گیری و ثبت شد. پس از ۶ هفته تغذیه با غذای پر فروکتوز، برای اطمینان از ایجاد مقاومت انسولینی تست تحمل گلوکز بر روی حیوانات انجام شد<sup>(۱۰)</sup>. به این منظور پس از ۱۲ ساعت محرومیت از غذاء، به میزان گلوکز به صورت داخل معدی و با استفاده از گاواژ با دوز ۲ g/kg وزن بدن به حیوانات تزریق و نیم و ۱ ساعت پس از تزریق، قند خون با گلوکومتر اندازه گیری شد<sup>(۸)</sup>. سپس حیوانات به صورت زیر تیمار شدند:

گروه اول: گروه پیو گلیتازون که روزانه مقدار ۱۰ mg/kg وزن بدن داروی پیو گلیتازون را به صورت داخل معدی با استفاده از گاواژ دریافت کردند (گروه پیو گلیتازون)<sup>(۱۱)</sup>.

گروه دوم: روزانه ۱۰۰۰ mg/kg وزن بدن عصاره آبی مازو را به صورت داخل معدی با استفاده از گاواژ دریافت کردند (گروه مازو)<sup>(۸)</sup>.

گروه سوم: گروه کنترل مقاوم به انسولین که هیچ دارویی دریافت نکردند (گروه کنترل).

گروه چهارم: گروه تغذیه نرمال که همانند قبل غذای استاندارد مصرف می کردند (گروه کنترل سالم).

غلظت مورد استفاده عصاره بر اساس مطالعات قبلی ما که بر روی حیوانات دیابتی شده با استرپتوزوتوسین انجام شده بود، تعیین گردید<sup>(۸)</sup>. طول دوره تیمار دارویی دو هفته بوده و دارو و عصاره ها بوسیله گاواژ به حیوانات خورانده شدند<sup>(۱۲)</sup>. حجم تزریق برای تمامی حیوانات ۱ ml بود. به این منظور مقدار دارو یا عصاره مورد نیاز برای هر حیوان بر اساس وزن بدن محاسبه و سپس در ۱ ml آب مقتدر حل شده و به داخل معده حیوان تزریق گردید. در طول این

شهر کرمان تهیه و پس از شناسایی و تأیید توسط گیاه شناس، به دقت شسته و سپس در دمای اتاق و در تاریکی خشک شدند. بافت های خشک شده گیاهان، آسیاب و سپس ۳۰۰ g از پودر گیاه برای عصاره گیری استفاده شد. بدین ترتیب که ۳۰۰ g پودر گیاه را در یک اrlen ریخته و ۱۰۰۰ ml آب مقتدر با دمای ۴۰ درجه سانتی گراد به آن اضافه شد. پس از یک ساعت هم زدن، به مدت ۴۸ ساعت در دمای اتاق و در تاریکی نگهداری شد. سپس محلول حاصل را از تفاله های گیاهی جدا کرده و پس از انتقال به پلیت های ۱۲۵ میلی لیتری، در دمای ۴۰ درجه سانتی گراد درون آون خشک شد. عصاره گیاهی خشک شده از پلیت ها جدا و تا زمان آزمایش در فریزر ۲۰°C- نگهداری شد<sup>(۹)</sup>.

**تهیه غذای غنی از فروکتوز:**  
برای تهیه غذای غنی از فروکتوز، مطابق روش Shih و همکاران<sup>(۲۰۰۹)</sup>، فروکتوز با مخلوط کازئین، مولتی ویتامین، میکرو میزال ها و متیونین با نسبت وزنی ۶۰ به ۴۰ مخلوط و با افزودن مقدار کمی آب مقتدر به صورت خمیر در آمد. این خمیر به شکل پلت های استاندارد در آمد و سپس در مجاورت هوا خشک شد. غذا تا زمان مصرف در یخچال نگهداری شد<sup>(۱۰)</sup>.

**حیوانات آزمایشگاهی:**  
۳۲ سر موش صحرایی نر در محدوده وزنی ۲۵۰-۳۰۰ g حیوانخانه دانشکده پزشکی دانشگاه علوم پزشکی کرمان خریداری شد. حیوانات به اتاقی جداگانه در حیوانخانه منتقل و به طور راندوم در قفس های ۴ تایی تقسیم شدند. جهت سازگاری با محیط جدید، حیوانات به مدت ۲ هفته در این اتاق نگهداری شدند. دمای اتاق ۲۵°C و دارای شرایط استاندارد ۱۲ ساعت تاریکی و ۱۲ ساعت روشنایی بود. انجام مطالعه با کد اخلاق IR.KMU.REC.1390.192 در کمیته اخلاق دانشگاه علوم پزشکی کرمان به تصویب رسیده بود.

استاندارد داخلی، انجام شد(۱۳). ابتدا چربی‌ها از سایر اجزای پلاسما جدا شد و سپس اسیدهای چرب آزاد از سایر لیپیدها با کروماتوگرافی لایه نازک جدا گردید. در نهایت از اسیدهای چرب مشتق مدل استر تهیه و جهت آنالیز به دستگاه کروماتوگرافی گاز تزریق شد.

#### استخراج لیپیدها:

برای استخراج لیپیدها از پلاسما از معرف Dole (ایزوپروپانول-هپتان-اسید کلریدریک (M) با نسبت حجمی به ترتیب ۴۰ به ۱۰ به ۱) استفاده شد. بدین ترتیب که ابتدا ۱ml از پلاسما به یک لوله آزمایش بزرگ منتقل شده و ۱ml ۵۰ پنتا دکانوئیک اسید (۱mg/ml) Merck, شده (Germany) به آن افزوده شد. سپس ۴ ml از معرف Dole به آن افزوده و به مدت ۲۰ دقیقه به شدت ورتكس شد. پس از آن لوله آزمایش به مدت ۱۰ دقیقه در دمای اتاق انکوبه و سپس ۲ ml آب مقطر و ۴ ml هپتان نرمال به لوله اضافه شد. مجدداً لوله به مدت ۵ دقیقه ورتكس و سپس به مدت ۱۰ دقیقه در ۴۰۰۰ rpm و دمای ۴۰°C سانتریفیوژ شد. در انتها فاز رویی (هپتان) که حاوی تمامی اجزای لیپیدی پلاسماست، جدا و حلال آن در دمای ۴۰°C تبخیر شد.

#### جداسازی اسیدهای چرب:

برای جdasازی اسیدهای چرب آزاد از سایر لیپیدها از کروماتوگرافی لایه نازک (Thin Layer ) Chromatography, TLC استفاده شد. به این منظور: به فاز لیپیدی جدا شده در مرحله قبل ۵ml ۰/۵ کلروفرم افزوده شد و سپس تمامی ۵ml نمونه روی نقاط مجاور هم بر روی پلیت (Art.5553, Merck, Germany) TLC گذاری شد. فاز متحرک ترکیب حلال هپتان-دی اتیل اتر-اسید استیک و به نسبت حجمی ۶۰ به ۴۰ به ۳ بود.

برای تشخیص موقعیت باندها بر روی صفحه TLC از ید Merck, (Germany) را در زیر هود در یک بشر بزرگ ریخته و پس از قرار دادن صفحه TLC درون بشر، دهانه آن با فولیل آلومینیومی بسته شد. باند اسیدهای چرب آزاد در مقایسه با

مدت، وزن حیوانات به صورت هفتگی و میزان مصرف آب و غذای آنها به صورت روزانه اندازه گیری و ثبت شد.

#### جمع آوری نمونه:

پس از پایان دوره تیمار دو هفته‌ای، نمونه گیری از حیوانات انجام شد. تمامی نمونه گیری‌ها در صبح و پس از ۱۲ ساعت محرومیت از غذا صورت گرفت. در زمان نمونه گیری، تزریق دارو یا عصاره گیاهی به حیوانات انجام نشد. جهت نمونه گیری، ابتدا حیوان با اتر بیهوش شد و پس از خون‌گیری از قلب، نمونه خون در دو لوله مجزا (یکی دارا و دیگری EDTA Ethylenediaminetetraacetic acid) جمع آوری شد. نمونه‌های خون تا زمان جdasازی سرم و پلاسما روی یخ قرار داده شدند. به منظور جdasازی سرم یا پلاسما، نمونه‌های خون در دمای ۴°C و دور ۳۰۰۰rpm به مدت ۱۰ دقیقه سانتریفیوژ، و بلافاصله به فریزر ۷۵°C-منتقل شدند.

اندازه گیری فاکتورهای بیوشیمیابی: اندازه گیری غلظت‌های گلوکز، تری گلیسرید، کلسیترول و HDL-C (محصول شرکت پارس آزمون) در آزمایشگاه رازی کرمان و توسط دستگاه اتوآنالایزر RA-۱۰۰۰ انجام شد.

اندازه گیری غلظت انسولین و آدیپونکتین: با استفاده از کیت‌های الایزای اختصاصی انسولین رت (CEA448Ra, SEA605Ra, USCN, China) و آدیپونکتین رت (USCN, China) و دقیقاً مطابق دستورالعمل کیت، مقادیر انسولین و آدیپونکتین اندازه گیری شدند. حساسیت کیت برای آدیپونکتین ۰/۱۲۷ ng/mL و برای انسولین ۰/۰۲۷ ng/mL بود.

سپس محاسبه HOMA-IR با استفاده از فرمول  $HOMA - IR = \frac{\text{glucose}(\text{mmol/L}) \cdot \text{insulin}(\mu\text{U}/\text{ml})}{22.5}$  اندازه گیری شد.

اندازه گیری اسیدهای چرب آزاد پلاسما: اندازه گیری اسیدهای چرب پلاسمایی بر اساس روش Kangani و همکاران (۲۰۰۸) و با تعییر اندازه گیری اسیدهای چرب پلاسما و

تا پایان کار حفظ شد. دمای آون به مدت ۱ دقیقه بر روی  $45^{\circ}\text{C}$  تنظیم شد. سپس دما با سرعت  $25^{\circ}\text{C}/\text{min}$  تا  $160^{\circ}\text{C}$  و سپس با سرعت  $30^{\circ}\text{C}/\text{min}$  تا  $195^{\circ}\text{C}$  افزایش یافت و پس از یک توقف  $0/5$  دقیقه‌ای با سرعت  $15^{\circ}\text{C}/\text{min}$  تا  $220^{\circ}\text{C}$  افزایش یافت و در این دما تا پایان جداسازی حفظ شد. دتکتور FID نیز دارای دمای  $350^{\circ}\text{C}$  و جریان گاز هیدروژن و هوا به ترتیب  $300\text{ ml}/\text{min}$  و  $300\text{ ml}/\text{min}$  بود. طول مدت هر run، ۲۲ دقیقه و حجم تزریق به دستگاه  $1\text{ \mu l}$  بود.

#### آنالیز داده‌ها:

آنالیز داده‌ها با استفاده از نرم افزار SPSS نسخه ۱۸ انجام شد. با توجه به توزیع نرمال داده‌ها و برابری واریانس‌ها، از تست ANOVA یک طرفه برای آنالیز استفاده شد. همچنین Tukey Post Hoc Test جهت تغییرات در بین گروه‌ها با آزمون  $\alpha$ -زمون P تعیین گردید. نتایج به صورت  $\text{Mean} \pm \text{SE}$  گزارش و Value کمتر از  $0/05$  معنی‌دار نظر گرفته شد. حیوانات گروه غذای نرمال در تمام دوره تیمار ۸ هفت‌های غذای استاندارد دریافت کردند. در سایر گروه‌ها حیوانات به مدت ۶ هفته با غذای غنی از فروکتوز تغذیه شدند و پساز این دوره به مدت ۲ هفته و به صورت روزانه عصاره گیاهی مازو گاواظ دریافت نمودند. حیوانات گروه کنترل در طول ۸ هفته با غذای غنی از فروکتوز و بدون هیچ دارویی تغذیه شدند ( $n=8$ ).

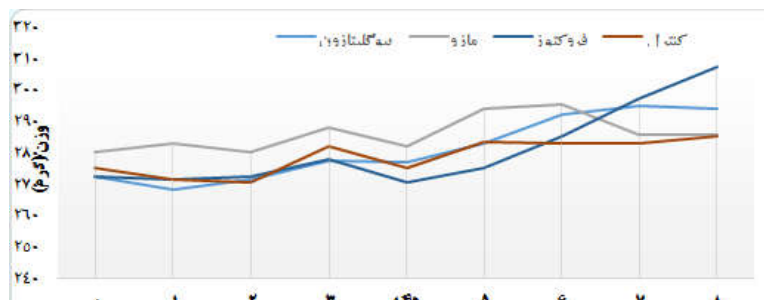
استاندارد اسید چرب، از روی صفحه TLC تراشیده و پس از انتقال به لوله آزمایش، بمنظور بازیابی اسیدهای چرب،  $1\text{ ml}$  کلروفرم به لوله اضافه و به مدت  $30$  ثانیه ورتكس و سپس در دمای  $40^{\circ}\text{C}$  سانتریفیوژ و فاز رویی (کلروفرم حاوی اسیدهای چرب) جدا و در آن  $40^{\circ}\text{C}$  کاملاً تبخیر شد.

تهیه مشتق متیل استر اسیدهای چرب:

تهیه مشتق متیل استر اسیدهای چرب با استفاده از محلول (B1252, Sigma, USA) (Trifluoride Boron)  $\text{BF}_3$  در متانول صورت گرفت. به این صورت که به لوله حاوی اسیدهای چرب مرحله قبل،  $1\text{ ml}$  محلول  $1\text{ ml}$   $\text{BF}_3$  در متانول ( $14\%$ ) افزوده و در لوله بسته شد. محلول به شدت هم زده شده و به مدت  $1/5$  ساعت در دمای  $60^{\circ}\text{C}$  قرار داده شد. پس از  $1/5$  ساعت،  $1/5\text{ ml}$  محلول اشباع بیکربنات سدیم و سپس  $2\text{ ml}$  هپتان نرمال به لوله اضافه شد. لوله به شدت به مدت  $2$  دقیقه ورتكس و سپس به مدت  $2$  دقیقه در  $4000\text{ rpm}$  و  $40^{\circ}\text{C}$  سانتریفیوژ و فاز رویی (هپتان) حاوی Free Fatty Acid Metyl (Ester, FAME) جدا شد. هپتان تا حجم  $5\text{ ml}$  در آن (Agilent, 7890A, USA) GC تبخیر و سپس به دستگاه (Ester, FAME) تزریق شد.

کروماتوگرافی گاز:

دمای inlet بر روی  $300^{\circ}\text{C}$ ،  $30\text{ psi}$  فشار گاز حامل و سیستم split:  $30:1$  تنظیم شد. گاز حامل نیتروژن و دارای شبکه فشاری  $30\text{ psi}$  به مدت  $8$  دقیقه و سپس افزایش فشار با سرعت  $90\text{ psi}/\text{min}$  تا سقف  $20\text{ psi}$  تنظیم و این فشار



نمودار ۱. تغییر وزن حیوانات گروه تیمار شده با عصاره آبی گالهای مازو در مقایسه با گروه‌های کنترل، پیوگلیتازون و غذای نرمال

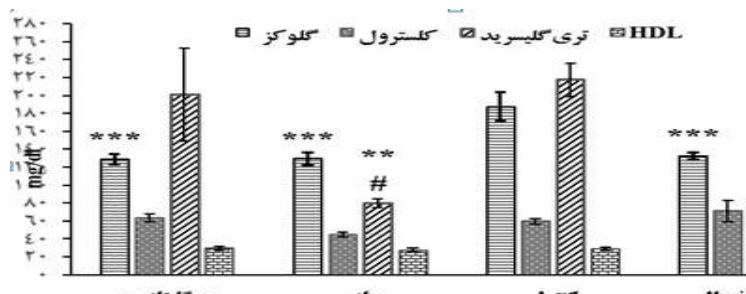
گیاهی مازو ( $1000\text{ mg/kg}$ ) یا پیوگلیتازون ( $10\text{ mg/kg}$ ) را به وسیله گاواظ دریافت نمودند. حیوانات گروه کنترل در طول ۸ هفته با غذای غنی از فروکتوز و بدون هیچ دارویی تغذیه شدند ( $n=8$ ).

حیوانات گروه غذای نرمال در تمام دوره تیمار ۸ هفته‌ای غذای استاندارد دریافت کردند. در سایر گروه‌ها حیوانات به مدت ۶ هفته با غذای غنی از فروکتوز تغذیه شدند و پس از این دوره به مدت ۲ هفته و به صورت روزانه عصاره

جدول ۱. میزان مصرف روزانه آب و غذای حیوانات در نتیجه تیمار با عصاره آبی گال‌های مازو

آب مصرفی (ml/day)				غذای مصرفی (g/day)			
کنترل	پیوگلیتازون	غازی نرمال	مازو	کنترل	پیوگلیتازون	غازی نرمال	مازو
$47/1 \pm 8/04$	$35/0 \pm 5/82$	$60/2 \pm 1$	$52/2 \pm 5/1$	$130/0 \pm 3/19$	$22/0 \pm 4/53$	$13/0 \pm 4/25$	$12/0 \pm 7/35$
P value				P value			
$<0.001$	$<0.001$	$<0.003$		$>0.0001$	۱	$<0.926$	

P value گزارش شده، اختلاف با گروه کنترل را نشان می‌دهد



نمودار ۲. تأثیر عصاره آبی گال‌های مازو بر غلظت گلوکز، تریگلیسرید، کلسترول توتال و HDL سرمی

طول ۸ هفته با غذای غنی از فروکتوز و بدون هیچ دارویی تغذیه شدند. تمامی فاکتورها در نمونه سرمی و به روش آنژیمی و بعد از ۱۲ ساعت ناشتابی اندازه‌گیری شده است (n=8). داده‌ها به صورت میانگین±خطای استاندارد گزارش شده است و با آزمون ANOVA یک‌طرفه آنالیز شده‌اند و  $P<0.05$  معنی‌دار در نظر گرفته شده است.

(\*)P<0.0001 (\*\*\*)P<0.001 (\*\*P<0.01)

(#)P<0.05 (نسبت به گروه پیوگلیتازون)

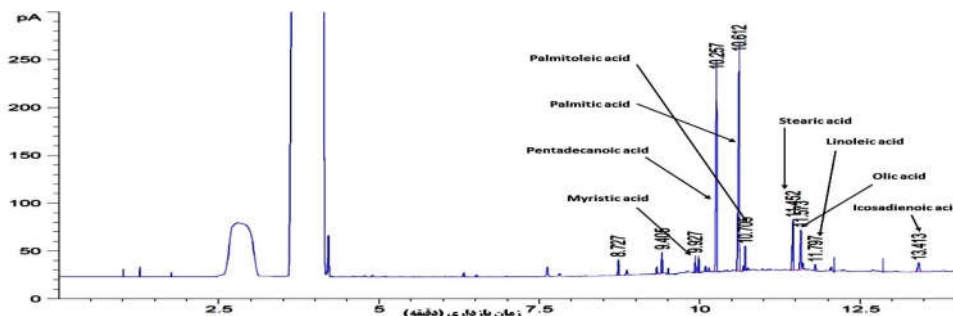
حیوانات گروه غذای نرمال در تمام دوره تیمار ۸ هفته‌ای غذای استاندارد دریافت می‌کردند. در سایر گروه‌ها حیوانات به مدت ۶ هفته با غذای غنی از فروکتوز تغذیه شدند و پس از این دوره به مدت ۲ هفته و به صورت روزانه عصاره مازو ( $1000\text{ mg/kg}$ ) یا پیوگلیتازون ( $10\text{ mg/kg}$ ) را به وسیله گاواظ دریافت نمودند. حیوانات گروه کنترل در

جدول ۲. تأثیر عصاره آبی گال‌های مازو بر غلظت انسولین، آدیپونکتین و شاخص HOMA-IR

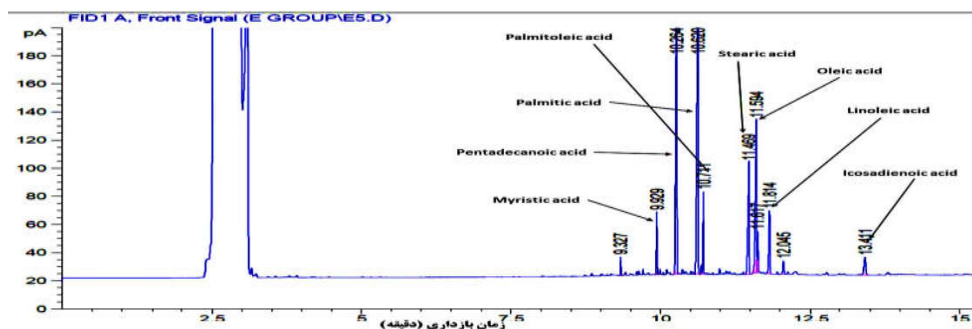
P value	پیوگلیتازون	مازو	کنترل	غازی نرمال	
$>0.0001$	$40/2 \pm 2/75$	$31/6 \pm 2/32$	$137/34 \pm 6/2$	$50/4 \pm 5/8$	غلظت انسولین (pmol/l)
$<0.05$	$5/0 \pm 9/29$	$4/0 \pm 59/2$	$3/0 \pm 86/14$	$2/0 \pm 9/14$	غلظت آدیپونکتین (ng/ml)
$>0.0001$	$2/0 \pm 11/13$	$1/0 \pm 6/32$	$9/2 \pm 7/13$	$2/0 \pm 7/38$	HOMA-IR

طول ۸ هفته با غذای غنی از فروکتوز و بدون هیچ دارویی تغذیه شدند. هورمون‌ها در نمونه سرمی و بعد از ۱۲ ساعت ناشتابی به روش الایزا و HOMA با فرمول محاسبه شد ( $n=8$ ). داده‌ها به صورت میانگین $\pm$ خطای استاندارد گزارش شده است و با آزمون ANOVA یک‌طرفه آنالیز شده‌اند و  $P<0.05$  معنی‌دارد در نظر گرفته شده است (جدول ۲).

حیوانات گروه غذای نرمال در تمام دوره تیمار ۸ هفته‌ای غذای استاندارد دریافت می‌کردند. در سایر گروه‌ها حیوانات به مدت ۶ هفته با غذای غنی از فروکتوز تغذیه شدند و پس از این دوره به مدت ۲ هفته و به صورت روزانه عصاره مازو ( $1000\text{ mg/kg}$ ) یا پیوگلیتازون ( $10\text{ mg/kg}$ ) را به‌وسیله گاواز دریافت نمودند. حیوانات گروه کنترل در



شکل ۱. نمونه کروماتوگرام اسیدهای چرب آزاد در حیوانات تیمار شده عصاره مازو



شکل ۲. نمونه کروماتوگرام اسیدهای چرب آزاد در حیوانات گروه کنترل

تغذیه شدند. اسیدهای چرب آزاد در نمونه پلاسمایی و بعد از ۱۲ ساعت ناشتابی به روش کروماتوگرافی گاز اندازه-گیری شد. ( $n=8$ ). داده‌ها به صورت میانگین $\pm$ خطای استاندارد گزارش شده است و با آزمون ANOVA یک‌طرفه آنالیز شده‌اند و  $P<0.05$  معنی‌دارد در نظر گرفته شده است (جدول ۳).

حیوانات گروه غذای نرمال در تمام دوره تیمار ۸ هفته‌ای غذای استاندارد دریافت می‌کردند. در سایر گروه‌ها حیوانات به مدت ۶ هفته با غذای غنی از فروکتوز تغذیه شدند و پس از این دوره به مدت ۲ هفته و به صورت روزانه عصاره مازو ( $1000\text{ mg/kg}$ ) یا پیوگلیتازون ( $10\text{ mg/kg}$ ) را به‌وسیله گاواز دریافت نمودند. حیوانات گروه کنترل در طول ۸ هفته با غذای غنی از فروکتوز و بدون هیچ دارویی

در مقایسه با گروه کنترل  $P < 0.001$  و  $P < 0.05$ ، \*  $P < 0.05$

جدول ۳. تأثیر عصاره مازو بر پروفیل اسیدهای چرب آزاد پلاسمایی در مقایسه با گروه فروکتوز و پیوگلیتازون

اسید چرب	گروه‌ها	غذای نرمال	کنترل	مازو	پیوگلیتازون
د-کانوئیک اسید	(μmol/L)	۱/۰±۴۳/۰۵	۱/۰±۱۱/۱	۱/۰±۱۲/۰۲	۱/۰±۵۰/۰۵
لائوریک اسید	(μmol/L)	۰/۰±۹۴/۰۷	۱/۰±۰۸/۰۸	۰/۰±۹۷/۱۱	۱/۰±۱۸/۳۰
میریستیک اسید	(μmol/L)	۱/۰±۰۷/۰۲	۱/۰±۱۰/۰۷	۱/۰±۲۸/۰۶	۱/۰±۲۴/۰۶
پالmitیک اسید	(μmol/L)	۵/۰±۹۷/۵۷***	۱۱/۲±۱۶/۶۲	۸/۰±۴۲/۳۸*	۵/۰±۱۸/۱۸***
پالmitوئیک اسید	(μmol/L)	۱/۰±۰۶/۱۴	۱/۰±۷۶/۱۹	۱/۰±۱۰/۰۱	۱/۰±۱۰/۰۱
استاریک اسید	(μmol/L)	۲/۰±۳۵/۱۲	۲/۰±۷۳/۱۲	۲/۰±۸۲/۱۱	۲/۰±۰۶/۱۲
اولئیک اسید	(μmol/L)	۲/۰±۲۰/۲۲**	۲/۰±۹۲/۲۲*	۳/۰±۸۶/۴۳	۱/۰±۷۲/۰۹**
ایکوزا دی انوئیک اسید	(μmol/L)	۲/۰±۲۲/۰۶*	۱/۰±۴۵/۱۲	۱/۰±۶۴/۳	۳/۰±۵۸/۳۳**
اسید چرب آزاد توتال	(μmol/L)	۱۷/۰±۲۶/۷۳**	۲۲/۲±۹۸/۷۲	۲۱/۱±۳۳/۵۱	۱۷/۱±۱۹/۱۴**

هیچ اختلاف معنی‌داری را نشان نداد. وزن حیوانات در هفته‌های اول تا هشتم نیز اختلاف معنی‌داری نداشت. وزن هفته هشتم در گروه کنترل ( $g/307/8\pm6$ )، غذای نرمال ( $g/285/9\pm1/2$ )، پیوگلیتازون ( $g/3/3\pm3/3$ ) و مازو ( $g/285/14\pm9/3$ ) بود که هیچ کدام از گروه‌ها با گروه کنترل اختلاف معنی‌داری را نشان نداد. اما میزان افزایش وزن حیوانات در طول هشت هفته، که از اختلاف وزن هفته هشتم از وزن اولیه حیوانات بدست آمده بود، در بین گروه‌ها اختلاف معنی‌داری را نشان داد. بدین صورت که افزایش وزن در گروه مازو ( $g/2\pm8/2$ ) به طور معنی‌داری کمتر از گروه فروکتوز ( $g/35/1\pm2/8$ ) بود و مازو از افزایش وزن در نتیجه مصرف غذای پر فروکتوز جلوگیری کرد. روند تغییرات وزن حیوانات در نمودار شماره ۱ نشان داده شده است.

فاکتورهای بیوشیمیایی سرم: میزان گلوکز سرمی در گروه عصاره مازو ( $mg/dl/129/6\pm3/8$ ) در مقایسه با گروه کنترل ( $mg/dl/187/15\pm5/9$ ) کاهش معنی‌داری نشان داد. اختلاف معنی‌داری بین میزان گلوکز ناشتا در نتیجه مصرف این عصاره با گروه غذای نرمال ( $mg/dl/132/3\pm4/9$ ) و گروه پیوگلیتازون ( $mg/dl/129/5\pm1/8$ ) مشاهده نشد.

### یافته‌ها

وزن موش‌ها و میزان مصرف آب و غذا: اهمیت بررسی تغییرات وزنی حیوانات همراه با میزان مصرف آب و غذا در این است که مشخص شود آیا تغییرات وزنی ایجاد شده در وضعیت متابولیکی حیوانات، به دلیل کاهش یا افزایش مصرف غذا و یا به دلیل مصرف داروها و عصاره‌های گیاهی بوده است. هیچ اختلاف معنی‌داری از نظر میزان مصرف آب و غذا بین گروه تیمار شده با عصاره گیاهی و گروه کنترل وجود نداشت. میزان مصرف آب در گروه پیوگلیتازون ( $ml/day/60/2\pm1$ ) به طور معنی‌داری بالاتر از گروه کنترل ( $ml/day/47/1\pm8/4$ ) و در گروه غذای نرمال ( $ml/day/35/0\pm5/82$ ) به طور معنی‌داری کمتر از گروه کنترل بود. مصرف غذا نیز در گروه کنترل نرمال ( $ml/day/22/0\pm4/53$ ) به طور معنی‌داری بالاتر از گروه غذای نرمال ( $ml/day/13/0\pm3/39$ ). خلاصه نتایج در جدول ۱ ذکر شده است.

وزن حیوانات: وزن اولیه حیوانات، که قبل از آغاز مصرف غذای غنی از فروکتوز اندازه‌گیری شده بود، در گروه کنترل ( $g/4/272/8\pm3/4$ )، غذای نرمال ( $g/3/274/8\pm9/3$ )، پیوگلیتازون ( $g/3/272/12\pm2/3$ ) و مازو ( $g/1/280/13\pm1/1$ ) مشاهده نشد.

معنی داری در HOMA.IR بین گروه های تیمار شده با عصاره های گیاهی با پیو گلیتازون وجود نداشت. نتایج در جدول شماره ۲ خلاصه شده است.

#### غلط اسیدهای چرب آزاد:

غلط اسیدهای چرب توتال در گروه مازو پیو گلیتازون ( $21/1 \pm 33/51 \mu\text{mol/L}$ )، غدای ( $17/1 \pm 9/14 \mu\text{mol/L}$ ) نرمال ( $17/0 \pm 26/73 \mu\text{mol/L}$ ) بود که اختلاف معنی داری با گروه کنترل ( $22/2 \pm 98/73 \mu\text{mol/L}$ ) نشان داد ( $P=0/034$ ). اختلافی بین عصاره گیاهی و پیو گلیتازون نیز از نظر اثر بر غلط اسید چرب توتال مشاهده شد. در بین اسیدهای چرب نیز غلط اسید چرب توتال تحت درمان با عصاره مازو اختلاف معنی داری با گروه کنترل نشان داد. اشکال شماره ۱ و ۲ و جدول ۳، خلاصه نتایج را نشان می دهد.

#### بحث

از نظر کلینیکی مقاومت انسولینی با افزایش مزمن غلط گلوکز و انسولین مشخص می شود که علت آن کاهش حساسیت بافت های برداشت کننده گلوکز (بافت چربی و عضلانی) به غلط بالای انسولین موجود در گردش خون می باشد (۱۴). دیابت نوع ۲ شایع ترین اختلال متابولیک در دنیاست و شیوع بالای این بیماری لزوم تحقیقات در این زمینه را نشان می دهد (۲).

وجود فلاؤنئیدها، آلکالوئیدها، گلیکوزیدها، تانن ها و ترکیبات فنولی باعث می شود که گیاهان اثرا ت آنتی دیابتیک متفاوتی اعمال کنند (۱۵). در این مطالعه اثر عصاره گیاهان مازو بر فاکتورهای مقاومت انسولینی در رت های مقاوم به انسولین بررسی شد. مقاومت انسولینی ایجاد شده در رت که در این مطالعه نیز مورد استفاده قرار گرفت، در نتیجه مصرف غذای پر فروکتوز ایجاد می شود و این مدلی است که به طور رایج برای مطالعات مورد استفاده قرار

میزان تری گلیسرید خون در گروه مازو ( $79/5 \pm 8/1$ ) کاهش معنی داری در مقایسه با گروه کنترل ( $217/18 \pm 6/5 \text{ mg/dl}$ ) نشان داد. میزان کاهش تری گلیسرید بوسیله عصاره های مازو در مقایسه با پیو گلیتازون ( $200/51 \pm 7/6 \text{ mg/dl}$ ) نیز معنی دار بود ( $P<0/05$ ). پیو گلیتازون بر خلاف عصاره مازو تأثیر معنی داری بر میزان تری گلیسرید خون در مقایسه با گروه کنترل نداشت. غلط اسید چرب توتال در گروه مازو ( $50/0 \pm 4/63 \text{ mg/dl}$ ) و تفاوت معنی داری با گروه کنترل ( $59/3 \pm 3/9 \text{ mg/dl}$ ) و پیو گلیتازون ( $63/4 \pm 4/2 \text{ mg/dl}$ ) نشان نداد. سطح کلسترول خون در گروه کنترل و غذای نرمال ( $71/12 \pm 1/1$ ) نیز تفاوتی نداشت. عصاره گیاهی مازو ( $27/2 \pm 2/1 \text{ mg/dl}$ ) تأثیر معنی داری بر سطح HDL-C نیز در مقایسه با گروه کنترل ( $29/1 \pm 2/8 \text{ mg/dl}$ ) و پیو گلیتازون ( $29/2 \pm 3/4 \text{ mg/dl}$ ) نداشت. خلاصه نتایج در نمودار شماره ۲ نشان داده شده است.

#### سطح سرمی انسولین و آدیپونکتین:

سطح انسولین سرمی در گروه مازو ( $31/6 \pm 2/32 \text{ pmol/L}$ ) به طور معنی داری کمتر از گروه کنترل ( $137/34 \pm 6/2 \text{ pmol/L}$ ) است. اختلاف معنی داری بین سطح انسولین در گروه دریافت کننده عصاره گیاهی با گروه غذای نرمال ( $50/4 \pm 5/8 \text{ pmol/L}$ ) یا پیو گلیتازون ( $40/2 \pm 2/75 \text{ pmol/L}$ ) دیده نشد. سطح سرمی آدیپونکتین در گروه دریافت کننده عصاره مازو ( $40 \pm 59/2 \mu\text{g/ml}$ ) نسبت به گروه کنترل ( $30 \pm 86/14 \mu\text{g/ml}$ ) اختلاف معنی داری نشان نداد. نتایج HOMA.IR : HOMA.IR به عنوان شاخص اندازه گیری مقاومت انسولینی در عصاره مازو ( $10/0 \pm 6/32$ ) اختلاف معنی داری با گروه کنترل ( $9/2 \pm 7/13$ ) نشان داد. پیو گلیتازون ( $20 \pm 11/13$ ) نیز به طور معنی داری باعث کاهش HOMA.IR در حیوانات شد. نتایج نشان داد که این عصاره اثر معنی داری بر کاهش HOMA و افزایش حساسیت به انسولین دارد. اختلاف

HOMA-( $\beta$ -cell function) و HOMA.AD (Adiponectin) برای بررسی وضعیت حساسیت به انسولین وجود دارند(۱۴). اما HOMA.IR به طور گستردۀ ای در مطالعات کلینیکی برای ارزیابی وضعیت حساسیت به انسولین مورد استفاده قرار می‌گیرد(۲۳).

ترشح انسولین به وسیله فاکتورهای متعددی کنترل می‌شود ولی مهمترین سیگنال تحریک ترشح انسولین، افزایش مقدار گلوکز است که در مصرف غذاهای پر کربوهیدرات رخ می‌دهد و به آن ترشح انسولین تحریک شده به وسیله گلوکز (Glucose Stimulated Insulin Secretion, GSIS) گفته می‌شود(۲۴). احتمالاً عصاره‌ی مازو از طریق کاهش گلوکز خون(۸)، باعث کاهش گلوکز به کمتر از حد آستانه و برداشته شدن اثر GSIS و در نتیجه کاهش ترشح انسولین می‌شوند(۲۵). کاهش HOMA.IR و گلوکز خون، همراه با کاهش سطح انسولین نشان‌دهنده افزایش عملکرد انسولین بجای افزایش ترشح انسولین می‌باشد که ممکن است مربوط به اثرات مستقیم شبه انسولینی عصاره‌ها باشد(۲۶).

عصاره مازو به طور معنی‌داری مقدار تری گلیسرید را کاهش داد ولی هیچ تأثیری بر میزان کلسترول توتال و HDL- $c$  نداشت. در مطالعه Gholamhosseiniان و همکاران (۲۰۱۲) مشخص گردید که عصاره آبی مازو در خرگوشهای هیپرلیپیدمیک باعث کاهش مقدار تری گلیسرید، کلسترول تام و کلسترول LDL می‌شود(۲۷). نتایج به دست آمده از عصاره مازو با مطالعه‌ی ما همخوانی دارد.

هیپرتری گلیسریدمی و افزایش تولید VLDL از علائم شایع مقاومت انسولینی و از ریسک فاکتورهای قلبی-عروقی Adult treatment ATPIII محسوب می‌شوند. راهنمای (panel III) توصیه می‌کند درمان‌هایی که منجر به کاهش تری گلیسرید و کلسترول LDL و همچنین افزایش کلسترول HDL می‌گردد، در سندروم متابولیک باید مورد توجه قرار گیرند(۲۸). تیازولیدین دیون‌های رایج (روزیگلیتازون و پیوگلیتازون) تأثیر کمی بر روی

می‌گیرد و بخوبی شرایط مقاومت انسولینی در انسان را تقلید می‌کند(۱۶).

با توجه به اینکه چاقی و پرخوری فاکتورهای خطر مهی برای مقاومت انسولینی محسوب می‌شود، وزن حیوانات و نیز مصرف آب و غذای آنها در این مطالعه مورد ارزیابی قرار گرفت(۱۷). نتایج این مطالعه نشان داد که عصاره‌ی مازو و علیرغم اینکه تأثیری بر میزان آب و غذای مصرفی حیوانات نداشت، اما بر خلاف پیوگلیتازون از افزایش وزن حیوانات در مقایسه با گروه فروکتوز جلوگیری کرد. مصرف فروکتوز در مقایسه با گلوکز باعث افزایش ییشور ذخیره چربی احتشایی می‌شود و در ایجاد مقاومت به انسولین نقش ایفا می‌کند(۱۸،۱۶). ارتباط شدیدی بین چاقی و مقاومت انسولینی وجود دارد و در چاقی و افزایش توده چربی، تولید سیتوکین‌هایی افزایش می‌یابد که باعث ایجاد مقاومت به انسولین می‌شوند(۱۹). بر عکس کاهش وزن Quantitative (insulin check index) سندروم متابولیک جلوگیری می‌کند(۲۰) و همچنین کاهش وزن و ورزش، حتی در مصرف رژیم غنی از کربوهیدرات نیز، شدت سندروم متابولیک را کاهش می‌دهد(۲۱). با توجه به شواهد فوق می‌توان اظهار داشت که احتمالاً عصاره‌ی مازو از طریق کاهش وزن حیوانات در ایجاد حساسیت به انسولین مؤثر واقع می‌شود.

عصاره متابولی ریشه مازو باعث کاهش معنی‌دار گلوکز خون در رت‌های دیابتی شده با آلوکسان می‌شود(۲۲) و همچنین عصاره آبی گالهای آن ضمن مهار آنزیم آلفا گلوکوزیذاز باعث کاهش غلظت گلوکز در موش‌های سالم و دیابتی شده با استرپتوزوتوسین می‌گردد(۸). در مطالعه ما نیز عصاره‌ی مازو به طور معنی‌داری باعث کاهش غلظت گلوکز خون و انسولین شد. همچنین این عصاره به طور معنی‌داری مقاومت انسولینی و HOMA-IR را کاهش داد. شاخص‌های متعددی مانند QUICKI، HOMA.β (The homeostasis model assessment) HOMA.β

مقاومت انسولینی یک وضعیت پیچیده متابولیکی است که با کاهش عملکرد انسولین در بافت‌ها و در نتیجه، افزایش غلظت انسولین، گلوکز، تری گلیسرید، کاهش HDL-C، افزایش اسیدهای چرب آزاد و کاهش آدیپونکتین مشخص می‌گردد. تیازولیدین دیون‌ها دسته دارویی هستند که با اثر بر PPAR γ حساسیت به انسولین را افزایش می‌دهند.

### نتیجه‌گیری

مطالعه حاضر نشان داد که عصاره مازو موجب افزایش حساسیت به انسولین در موش‌های مبتلا به مقاومت انسولینی در نتیجه یک رژیم پر فروکتوز می‌شود. از آنجا که این عصاره تأثیری بر ترشح آدیپونکتین به عنوان یک آدیپوکین حساس کننده به انسولین و سطح اسیدهای چرب آزاد پلاسمایی ندارد، بنابراین این عصاره احتمالاً اثرات افزایش حساسیت انسولینی را از طریق سایر فاکتورهای دخیل در این مورد مانند مهار التهاب، افزایش فعالیت یا بیان PPAR γ، افزایش انتقال گلوکز ترانسپورتر ۴ به سطح غشا انجام می‌شود. بنابراین در نظر داریم در مطالعات تكمیلی موارد فوق را بررسی نماییم.

### تشکر و قدردانی

این طرح با کد اخلاق IR.KMU.REC.1390.92 در کمیته اخلاق دانشگاه علوم پزشکی کرمان به تصویب رسیده و هزینه انجام آن طبق قرارداد ۹۰/۱۰۰ توسط معاونت پژوهشی دانشگاه علوم پزشکی کرمان تامین و تمامی مراحل مطالعه در گروه بیوشیمی دانشکده پزشکی افضلی پور و در دانشگاه علوم پزشکی کرمان انجام شده است. نویسنده‌گان از تمامی یاری دهنده‌گان انجام این مطالعه کمال قدردانی و تشکر را اعلام می‌دارند. نویسنده‌گان اعلام می‌دارند که هیچ گونه تعارض منافعی در انتشار این مقاله وجود ندارد.

Peroxisome proliferator-activated receptor α (PPARα) و بنابراین متابولیسم لیپیدها دارند، در حالی که داروهایی مانند فنوفربرات که از طریق PPARα عمل می‌کنند، سطح تری گلیسریدها را کاهش می‌دهند ولی تأثیر کمتری بر متابولیسم قندها دارند. بهمین جهت ساخت ترکیباتی که هم بر PPARγ و هم بر PPARα اثر بگذارند، و علاوه بر کاهش قند خون، پروفیل لیپیدی را نیز اصلاح کنند، مورد توجه قرار گرفته است(۲۸). مطالعه حاضر نیز بیانگر تأثیر همزمان عصاره مازو بر افزایش حساسیت به انسولین و کاهش غلظت تری گلیسرید خون است.

در مقاومت انسولینی، افزایش فعالیت لیپاز حساس به هورمون در بافت چربی، منجر به افزایش هیدرولیز تری-گلیسریدها و در نتیجه افزایش غلظت اسیدهای چرب آزاد پلاسمایی می‌شود. افزایش اسید چرب آزاد پلاسمایی یک شاخص مهم برای تشخیص مقاومت انسولینی محیطی و کبدی است. زیرا اسیدهای چرب آزاد می‌توانند پیام رسانی انسولین را مختل کنند. افزایش آزادسازی اسیدهای چرب و سیتوکین‌های پیش التهابی از بافت چربی باعث ایجاد مقاومت انسولینی در کبد و عضلات می‌شود. افزایش اسیدهای چرب آزاد و افزایش ورود آنها به کبد، باعث افزایش تولید VLDL و در نتیجه غلظت تری گلیسرید در این بیماران می‌شود(۲۹). افزایش تجمع اسیدهای چرب آزاد اشبع در آدیپوسیت‌ها منجر به سمیت لیپیدی و ایجاد حالت التهابی می‌شود که نه تنها حساسیت به انسولین را در آدیپوسیت‌ها، بلکه در سایر بافت‌ها نیز تحت تأثیر قرار می‌دهد. سمیت اسیدهای چرب اشبع از مهمترین مکانیسم‌های پاتولوژیک در چاقی و دیابت نوع ۲ محسوب می‌شوند(۳۰).

### منابع

1. Jia G, Demarco VG, Sowers JR, Drive OH. Insulin resistance and hyperinsulinaemia in diabetic cardiomyopathy. HHS Public Access. 2016;12(3):144–53.

2. Ciaraldi TP. Molecular Mechanisms of Insulin Resistance: An Update. *Citlaly Gac Med Mex.* 2017;153(1):71–86.
3. Nicholson T, Church C, Baker DJ, Jones SW. The role of adipokines in skeletal muscle inflammation and insulin sensitivity. *J Inflamm (United Kingdom)*. 2018;15(1):1–11.
4. Xin Y, Wang Y, Chi J, Zhu X, Zhao H, Zhao S, et al. Elevated free fatty acid level is associated with insulin-resistant state in nondiabetic Chinese people. *Diabetes, Metab Syndr Obes Targets Ther.* 2019;12:139–47.
5. Kimura I, Ichimura A, Ohue-Kitano R, Igarashi M. Free Fatty Acid Receptors in Health and Disease. *Physiol Rev.* 2020;100(1):171–210.
6. Katsuhiko Naruse, Noguchi T, Sado T, Tsunemi T, Shigetom H, Kanayama S, et al. Chemokine and Free Fatty Acid Levels in Insulin-Resistant State of Successful Pregnancy: A Preliminary Observation. *Mediat Inflammatio.* 2012;2012(1):1–6.
7. Askari SF, Azadi A, Jahromi BN, Tansaz M, Nasiri AM, Mohagheghzadeh A, et al. A comprehensive review about Quercus infectoria G. Olivier gall. *Res J Pharmacogn.* 2020;7(1):67–75.
8. Gholamhosseini A, H.Fallah, F.Sharififar. Anti-hyperglycemic Activity of Four Plants Extracts Effective against Alpha Glucosidase in Normal and Diabetic Rats. *J Kerman Univ Med Sci.* 2009;16(1):35–44.
9. Gholamhosseini A, Fallah H, Sharififar F, Mirtajaddini M. the inhibitory effect of some iranian plants extracts on the alpha glucosidase. *Iran J Basic Med Sci.* 2008;11:1–9.
10. Shiha C-C, Linb C-H, Linc W-L, Wud J-B. Momordica charantia extract on insulin resistance and the skeletal muscle GLUT4 protein in fructose-fed rats. *J Ethnopharmacol.* 2009;123(1):82–90.
11. Kubota N, Terauchi Y, Kubota T, Kumagai H, Itoh S, Satoh H, et al. Pioglitazone Ameliorates Insulin Resistance and Diabetes by Both Adiponectin-dependent and -independent Pathways. *J Biol Chem.* 2006;281(13):8748–55.
12. Gholamhosseini A, H.Fallah, F.Sharififar. Inhibitory effect of methanol extract of Rosa damascena Mill. flower on a-glucosidase activity and postprandial hyperglycemia in normal and diabetic rats. *Phytomedicine.* 2009;16(1):935–41.
13. Kangani CO, Kelley DE, DeLanya JP. Newmethod for GC/FID and GC–C-IRMS analysis of plasma free fatty acid concentration and isotopic enrichment. *J Chromatogr B.* 2008;873(1):95–101.
14. Williamson G, Sheedy K. Effects of Polyphenols on Insulin Resistance. *Nutrients.* 2020;12(10):3135.
15. Governa P, Baini G, Borgonetti V, Cettolin G, Giachetti D, Magnano AR, et al. Phytotherapy in the management of diabetes: A review. *Molecules.* 2018;23(1):1–22.
16. Abolfathi A, Vahabzadeh Z, Mahmoodiaghdam N, Vahabzadeh D, Hakhamanesh M saeed. Effects of taurine and homocysteine on lipid profile and oxidative stress in fructose-fed rats. *Sci J Kurdistan Univ Med Sci.* 2017;22(3):49–59.
17. Hurst Y, Fukuda H. Effects of changes in eating speed on obesity in patients with diabetes: A secondary analysis of longitudinal health check-up data. *BMJ Open.* 2018;8(1):1–8.
18. Stanhope KL, Schwarz JM, Keim NL, Griffen SC, Bremer AA, Graham JL, et al. Consuming fructose-sweetened, not glucose- sweetened, beverages increases visceral adiposity and lipids and decreases insulin sensitivity in overweight/obese humans. *J Clin Invest.* 2009;119(5):1322–34.
19. Kojta I, Chacinska M, Błachnio-Zabielska A. Obesity, Bioactive Lipids, and Adipose

- Tissue Inflammation in Insulin Resistance. Lancet. 2020;12(1305):1–19.
20. Belkina AC, Denis GV. Obesity genes and insulin resistance. Current Opinion in Endocrinology. 2010; 17(5): 472–7.
21. Malin SK, Niemi N, Solomon TPJ, Haus JM, Kelly KR, Filion J, et al. Exercise training with weight loss and either a high- or low-glycemic index diet reduces metabolic syndrome severity in older adults. Ann Nutr Metab. 2012;61(2):135–41.
22. Saini R, Patil SM. Anti-Diabetic Activity Of Roots Of Quercus Infectoria Olivier In Alloxan Induced Diabetic Rats. Int J Pharm Sci Res. 2012;3(4):1318–21.
23. Sathya Bhama CV, Balaji S, Seethalakshmi A. Analysis of the degree of insulin resistance in post menopausal women by using skin temperature measurements and fasting insulin and fasting glucose levels: A case control study. Journal of Clinical and Diagnostic Research. 2012; 6(10): 1644–7.
24. RifaihI N. Tietz Textbook of Clinical Chemistry and Molecular Diagnosis.Sixth ed. United States of America: Elsevier, 2018. 1160–1200.
25. Abdina AA, Baalash AA, Hamooda HE. Effects of rosiglitazone and aspirin on experimental model of induced type 2 diabetes in rats: focus on insulin resistance and inflammatory markers. J Diabetes Complications. 2010;24(1):168–78.
26. Ohnogi H, Hayami S, Kudo Y, Deguchi S, Mizutani S, Tatsuji Enoki, et al. Angelica keiskei Extract Improves Insulin Resistance and Hypertriglyceridemia in Rats Fed a High-Fructose Drink Hiromu. Biosci Biotechnol Biochem. 2012;76(5):928–32.
27. Gholamhoseinian A, Shahouzehi B, Joukar S. Effect of Quercus infectoria and Rosa damascena on Lipid Profile and Atherosclerotic Plaque Formation in Rabbit Model of Hyperlipidemia. pakistan J Biol Sci. 2012;15(1):27–33.
28. Botta M, Audano M, Sahebkar A, Sirtori CR, Mitro N, Ruscica M. PPAR agonists and metabolic syndrome: An established role? Int J Mol Sci. 2018;19(4):2–21.
29. Meshkani R, Adeli K. Hepatic insulin resistance, metabolic syndrome and cardiovascular disease. Clin Biochem [Internet]. 2009;42(13–14):1331–46.
30. Kennedy A, Martinez K, Chuang C-C, LaPoint K, McIntosh M. Saturated Fatty Acid-Mediated Inflammation and Insulin Resistance in Adipose Tissue: Mechanisms of Action and Implications. J Nutr. 2009;139(1):1–4.